

过程 $e^+e^- \rightarrow J/\psi \rightarrow \gamma B, B \rightarrow P_1P_2$ 的角分布和玻色子 B 的自旋分析*

严武光 郁 宏

(中国科学院高能物理研究所, 北京)

摘要

本文给出了过程 $e^+e^- \rightarrow J/\psi \rightarrow \gamma B, B \rightarrow P_1P_2$ 的螺旋性形式 (HF)^[1] 和等效相互作用形式 (EIF)^[2] 之间的关系。在 B 的不同自旋 ($J = 2, 4$) 下赝标介子的角分布显示, 为了确定 B 的自旋, 存在敏感区域和不敏感区域。令人遗憾的是, $\theta/f_2(1720)$ 和 $\xi(2230)$ 的数据正好掉入不敏感区域。

一、引言

$$e^+e^- \rightarrow J/\psi \rightarrow \gamma B, B \rightarrow P_1P_2 \quad (1)$$

是一个实验上相当重要的过程, 其中 P_1 和 P_2 是两个赝标介子, 互为正反粒子。正是通过这个过程, DESY 的 DASP^[3] 和 PLUTO^[4] 组观测到了 $f_2(1270)$; MARK II^[5] 组首先发现了 $f'_2(1525)$; 特别是晶体球组发现的胶子球的候选者 $\theta/f_2(1720)$ ^[6] 和 MARK III 组^[7] 提出了新态 $\xi(2230)$ 存在的证据更是十分令人感兴趣。

显然, 以上过程中 J/ψ 辐射衰变产生的双赝标介子体系 B 具有量子数 $J^{PC} = (\text{偶})^{++}$ 。然而, 至今我们不能确定 $\xi(2230)$ 的自旋是 2 还是 4。文献[2]用等效相互作用方法给出了一个方案。他们认为, 该方案对于确定 $\xi(2230)$ 的自旋十分有效。现在, 我们要问, 通常的螺旋性形式和等效相互作用形式的关系是什么? 本文的目的一是要找出这两种形式之间的关系, 二是试图借鉴 EIF 方案, 较全面地对 B 粒子作自旋分析。希望确实能有助于确定 $\xi(2230)$ 的自旋。

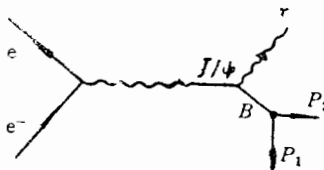
二、HF 和 EIF 之间的关系

过程(1)实际上包括三个子过程:

$$e^+e^- \rightarrow J/\psi, \quad J/\psi \rightarrow \gamma B, \quad B \rightarrow P_1P_2. \quad (2)$$

其费曼图如图 1 所示。

* 本工作得到国家自然科学基金会的支持。
本文 1988 年 6 月 15 日收到。

图1 过程 $e^+e^- \rightarrow J/\psi \rightarrow \gamma B, B \rightarrow P_1 P_2$ 的费曼图.

在 HF 中, 三个子过程的矩阵元分别是

$$\begin{aligned} \langle \phi_{\lambda_j} | T | e_r^+ e_r^- \rangle &\sim e_{\mu}^{J*}(p_J) \bar{\nu}_r(p_+) \gamma^\mu u_r(p_-), \\ \langle \gamma_{\lambda_r} B_A^J | T | \phi_{\lambda_j} \rangle &\sim A_{\lambda_r A}^J, \\ \langle P_1 P_2 | T | B_A^J \rangle &\sim D_{-A0}^{J*}(\phi, \theta, 0). \end{aligned} \quad (3)$$

其中 $\lambda_j, \lambda_r, A, r$ 和 r' 分别是 $J/\psi, \gamma, B, e^+$ 和 e^- 的螺旋性; $e_{\mu}^{J*}(p_J)$ 是 J/ψ 的极化矢量; (θ, ϕ) 描写 B 静止系中介子 P_1 的动量的方向; $A_{\lambda_r A}^J$ 为螺旋性振幅. 选择出射光子的方向为 z 轴, e^+e^- 束流在 $x-z$ 平面内. 角动量守恒给出关系式 $\lambda_j = \lambda_r - A$. 宇称守恒和时间反演不变性给出

$$A_{-\lambda_r - A}^J = (-)^J A_{\lambda_r A}^J, \quad A_{\lambda_r A}^{J*} = A_{\lambda_r A}^J. \quad (4)$$

显然, 当 $J \geq 2$ 时有三个独立的螺旋性振幅. 定义螺旋性振幅比

$$x_J = \frac{A_{11}^J}{A_{10}^J}, \quad y_J = \frac{A_{12}^J}{A_{10}^J}, \quad (5)$$

可以推得过程(1)的角关联公式为

$$\begin{aligned} W_J(\theta_r, \theta, \phi) \underset{(J \geq 2)}{\sim} & (1 + \cos^2 \theta_r) [d_{00}^J(\theta)^2 + y_J^2 d_{20}^J(\theta)^2] \\ & + \sqrt{2} \sin 2\theta_r \cdot \cos \phi [x_J y_J d_{10}^J(\theta) - x_J d_{00}^J(\theta)] d_{10}^J(\theta) \\ & + 2 \sin^2 \theta_r \cos 2\phi \cdot y_J \cdot d_{20}^J(\theta) d_{00}^J(\theta) \\ & + 2 \sin^2 \theta_r \cdot x_J^2 \cdot d_{10}^J(\theta)^2. \end{aligned} \quad (6)$$

对 θ 和 ϕ 积分, 得到光子的角分布如下:

$$\begin{aligned} W_J(\theta_r) \underset{(J \geq 2)}{\sim} & \frac{4\pi}{2J+1} \{ (1 + \cos^2 \theta_r) (1 + y_J^2) + 2 \sin^2 \theta_r x_J^2 \} \\ & \sim 1 + A_J \cos^2 \theta_r. \end{aligned} \quad (7)$$

其中

$$A_J = (1 + y_J^2 - 2x_J^2) / (1 + y_J^2 + 2x_J^2). \quad (8)$$

注意到对 $J = 2$ 或 4 , 光子的角分布表达式完全一样. 如在(6)中积去 θ_r 和 ϕ , 就得到出射赝标介子 P_1 的角分布:

$$\begin{aligned} W_J(\theta) \underset{(J \geq 2)}{\sim} & \frac{16\pi}{3} [d_{00}^J(\theta)^2 + y_J^2 d_{20}^J(\theta)^2 + x_J^2 d_{10}^J(\theta)^2] \\ & \sim 1 + B_J \cos^2 \theta + C_J \cos^4 \theta + D_J \cos^6 \theta + E_J \cos^8 \theta. \end{aligned} \quad (9)$$

当 $J = 2$ 时, 我们有

$$B_2 = (-12 + 12x_2^2 - 6y_2^2) / (2 + 3y_2^2),$$

$$\begin{aligned} C_2 &= (18 - 12x_2^2 + 3y_2^2)/(2 + 3y_2^2), \\ D_2 &= E_2 = 0 \end{aligned} \quad (10)$$

当 $J = 4$ 时, 我们有

$$\begin{aligned} B_4 &= (-180 + 180x_4^2 - 160y_4^2)/(9 + 10y_4^2), \\ C_4 &= (1110 - 1020x_4^2 + 780y_4^2)/(9 + 10y_4^2), \\ D_4 &= (-2100 + 1820x_4^2 - 1120y_4^2)/(9 + 10y_4^2), \\ E_4 &= (1225 - 980x_4^2 + 490y_4^2)/(9 + 10y_4^2). \end{aligned} \quad (11)$$

在 EIF 中, 文献[2]给出了过程(1)的光子的角分布和两个赝标介子的能量差分布如下:

$$\begin{aligned} d\sigma/d\cos\theta_r &\sim 1 + A_J \cos^2\theta_r \\ d\sigma/d\varepsilon &\sim 1 + B_J \varepsilon^2 + C_J \varepsilon^4 + D_J \varepsilon^6 + E_J \varepsilon^8. \end{aligned} \quad (12)$$

其中

$$\begin{aligned} \varepsilon &= (E_1 - E_2)/(E_1 - E_2)_{\text{极大}}, \\ (E_1 - E_2)_{\text{极大}} &= (m_1^2 - m_B^2)\sqrt{m_B^2 - 4m^2}/2m_1m_B, \end{aligned} \quad (13)$$

E_1 和 E_2 是两个赝标介子 P_1 和 P_2 的能量, m 为其质量. 当 $J = 2$ 时, 我们有

$$\begin{aligned} A_2 &= [2(\lambda^2 + 24) - 3\mu^2]/[2(\lambda^2 + 24) + 3\mu^2], \\ B_2 &= -6 + \frac{9}{2}(\mu^2 + 32)/(\lambda^2 + 36), \\ C_2 &= 9 - \frac{9}{2}(\mu^2 + 64)/(\lambda^2 + 36), \\ D_2 &= E_2 = 0. \end{aligned} \quad (14)$$

当 $J = 4$ 时, 有

$$\begin{aligned} A_4 &= (\lambda^2 - \mu^2 + 40)/(\lambda^2 + \mu^2 + 40), \\ B_4 &= -16 + (9\mu^2 - 144)/(\lambda^2 + 36), \\ C_4 &= 78 - (51\mu^2 - 1632)/(\lambda^2 + 36), \\ D_4 &= -112 + (91\mu^2 - 4368)/(\lambda^2 + 36), \\ E_4 &= 49 - (49\mu^2 - 3136)/(\lambda^2 + 36). \end{aligned} \quad (15)$$

这里, λ^2 和 μ^2 是两个独立的正实参数.

以 $J = 2$ 为例, 在 EIF 中, 顶点 $\phi\gamma B$ 和 BP_1P_2 能用下式描写:

$$\begin{aligned} \langle r_{\lambda_r} B_A^{J=2} | T | \phi_{\lambda_j} \rangle &\sim \alpha(e^{\lambda_j} e^{\lambda_r^*})(p_r e^A p_r) \\ &+ \beta(e^{\lambda_j} p_r)(e^{\lambda_r^*} e^A p_r) + \gamma(e^{\lambda_j} e^A e^{\lambda_r^*}), \\ \langle P_1 P_2 | T | B_A^{J=2} \rangle &\sim (p_1 e^A p_2) \end{aligned} \quad (16)$$

其中 e^{λ_r} 是光子的极化矢量, e^A 是 B 粒子的极化张量, α 、 β 和 γ 是三个耦合常数. 在 B 静止系中, 选取 p_r 方向为 z 轴. 若我们取

$$e_{\mu\nu}^A = \sum_{m_1, m_2} c_{1m_1 m_2}^{2-A} e_{\mu}^{m_1*} e_{\nu}^{m_2*}, \quad (17)$$

其中, $e_{\mu}^{m_1}$ 和 $e_{\nu}^{m_2}$ 是球极化矢量, 很容易得到

$$\begin{aligned} A_{1,2}^{J=2} &= -\gamma, \\ A_{1,1}^{J=2} &= \frac{(m_J^2 - m_B^2)^2}{4\sqrt{2} m_J m_B} \beta - \frac{m_J^2 + m_B^2}{2\sqrt{2} m_J m_B} \gamma, \\ A_{1,0}^{J=2} &= -\sqrt{\frac{2}{3}} \frac{(m_J^2 - m_B^2)^2}{4m_B^2} \alpha - \sqrt{\frac{1}{6}} \gamma, \\ x_2 &= \left\{ \frac{\sqrt{3} m_B}{m_J} \left[2(m_J^2 + m_B^2) - (m_J^2 - m_B^2)^2 \frac{\beta}{\gamma} \right] \right\} / \left[4m_B^2 \right. \\ &\quad \left. + 2(m_J^2 - m_B^2)^2 \frac{\alpha}{\gamma} \right], \\ y_2 &= 4\sqrt{6} m_B^2 / \left[4m_B^2 + 2(m_J^2 - m_B^2)^2 \frac{\alpha}{\gamma} \right], \end{aligned} \quad (18)$$

和

$$\cos \theta = -\varepsilon. \quad (19)$$

如果我们对 $J = 2$ 和 $J = 4$ 的情形分别取

$$\lambda^2 = \frac{24}{y_2^2}, \quad \mu^2 = \frac{32x_2^2}{y_2^2}, \quad (20)$$

和

$$\lambda^2 = 40y_4^2, \quad \mu^2 = 80x_4^2. \quad (21)$$

则方程(9)、(10)、(11)和方程(12)、(14)、(15)是完全一样的。这意味着两种方案完全等价。而 x_J 和 y_J 的物理意义显然要比 λ^2 和 μ^2 的物理意义更为明确。

三、结论和分析

在文献[2]中, 由于对参数作了某些特殊的选择(选择了某些特殊区域), 所以很容易辨别 ξ (2230) 的自旋。但我们不能保证实际情况正好就是这样, 所以必须作更完全的分析。方程(7)和(8)告诉我们, 从光子的实验角分布我们可以定出 A_J 的数值, 这就给出了 x_J^2 和 y_J^2 之间的一个线性关系

$$x_J^2 = \frac{1 - A_J}{2(1 + A_J)} (1 + y_J^2). \quad (22)$$

对不同的 A_J ($|A_J| \leq 1$), 我们可挑选若干组 (x_J^2, y_J^2) , 从方程(9)、(10)、(11) (或方程(12)、(14)、(15)、(20)、(21))可以得到赝标介子的角分布(或等价的两个赝标介子的能量差分布)。部份结果见图 2-5。我们清楚地看到, 在某些情况下(如 $A_J = 1$ 和 $A_J = -0.8$), 确定 B 的自旋是 2 还是 4, 这个角分布是敏感的。但是在另外的一些情况下(如 $A_J = 0.05$, $2.0 > y_J^2 > 0.5$ 和 $A_J = -0.25$), 蕨标介子的角分布对辨别 B 的自旋($J = 2$ 或 4)并不敏感。

我们已经知道, 对 θ/f_2 和 ξ 粒子, 拟合实验数据得到的螺旋性振幅之比分别为^[8]

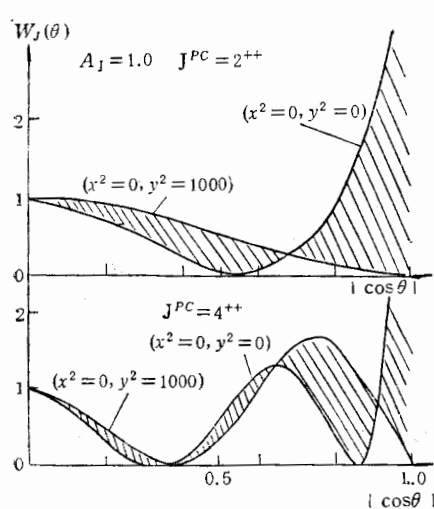


图 2 $A_J = 1.0$, (x^2, y^2) 取值从 $(0, 0) \rightarrow (0, 1000)$, $J^{PC} = 2^{++}$ 和 4^{++} 的赝标介子的角分布区域

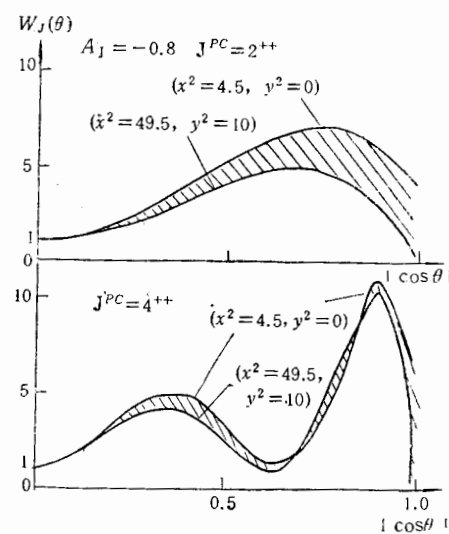


图 3 $A_J = -0.8$, (x^2, y^2) 取值从 $(4.5, 0) \rightarrow (49.5, 10)$, $J^{PC} = 2^{++}$ 和 4^{++} 的赝标介子的角分布区域

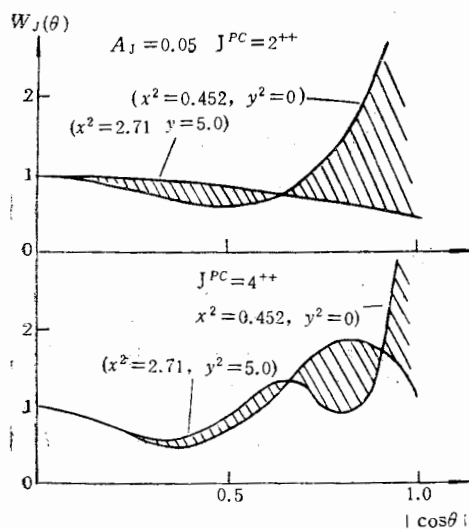


图 4 $A_J = 0.05$, (x^2, y^2) 取值从 $(0.452, 0) \rightarrow (2.71, 5.0)$, $J^{PC} = 2^{++}$ 和 4^{++} 的赝标介子的角分布区域

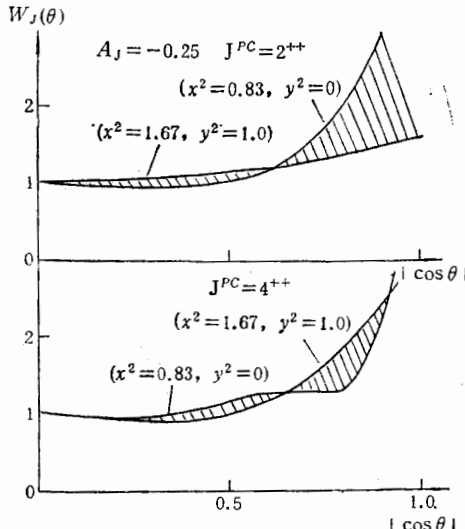
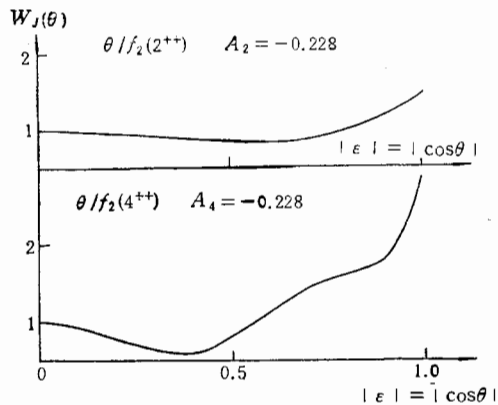
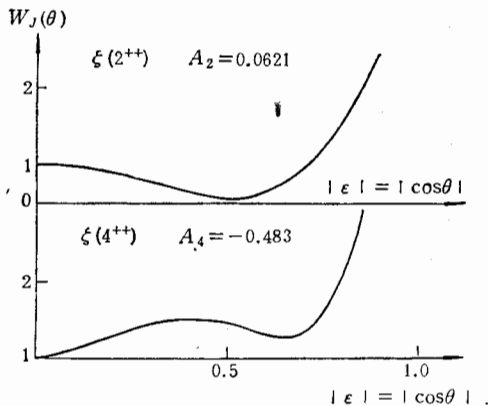


图 5 $A_J = -0.25$, (x^2, y^2) 取值从 $(0.83, 0) \rightarrow (1.67, 1.0)$, $J^{PC} = 2^{++}$ 和 4^{++} 的赝标介子的角分布区域

$$\begin{array}{lll} \theta/f_2 & x = -1.07 \pm 0.16 & y = -1.09 \pm 0.15 \\ \xi(J=2) & x = -0.67 \pm 0.14 & y = 0.13 \pm 0.21 \\ & & 0.16 & 0.19 \\ \xi(J=4) & x = 1.29 \pm 0.62 & y = 0.4 \pm 0.76 \\ & & 0.30 & 0.39 \end{array} \quad (23)$$

图6 对 θ/f_2 , $x = -1.07$, $y = -1.09$, $J^{PC} = 2^{++}$ 和 4^{++} 的赝标介子的角分布图7 对 $\xi(2^{++})$, $x = -0.67$, $y = 0.13$ 和 $\xi(4^{++})$, $x = 1.29$, $y = 0.4$ 的赝标介子的角分布。

我们可以利用这些结果作一逆向分析。略去这些值的误差, 把它们代入方程(8), 得到

$$\begin{array}{ccc}
 & A_2 & A_4 \\
 \theta/f_2 & -0.0228 & -0.0228 \\
 \xi(J=2) & 0.0621 & \\
 \xi(J=4) & & -0.483. \quad (24)
 \end{array}$$

这里我们假设 $\theta/f_2(1720)$ 的自旋可能是 2 或者 4。值得注意的是, 对 $\xi(2230)$ 有两组 (x, y) 值, 它们对应的 A_2 和 A_4 的差别非常大, 显然是因为 J/ψ 辐射衰变产生的 $\xi(2230)$ 事例太少, 以致误差太大。

略去(23)式中各值的误差, 代入方程(9)、(10)和(11)中, 我们可得到赝标介子的角分布。对 $\theta/f_2(1720)$, $J^{PC} = 2^{++}$ 和 4^{++} 如图 6 所示, 对 $\xi(2230)$, $J^{PC} = 2^{++}$ 和 4^{++} , 如图 7 所示。正如我们所担心的, 它们都落入不敏感区。即通过以上逆向分析可知, 现有的实验数据对于判别 θ/f_2 和 ξ 的自旋是 2 还是 4 是不够充分的。为了确定 B 粒子的自旋, 除了要求积累更多的实验数据之外, 有必要寻求新的分析方法。我们对矩分析法^[9]进行

推广,得到了一个可能的确定 $\xi(2230)$ 的自旋的新方法^[10]。当然,积累更多的实验数据总是重要的。如果北京正负电子对撞机正常工作,就有可能获得更多的数据,其结果将会十分令人感兴趣。

参 考 文 献

- [1] M. Jacob and G. C. Wick, Ann. Phys. (N. Y.) 7(1959), 404;
S. U. Chung, Phys. Rev. 169(1968), 1342;
- [2] P. K. Kabir and A. J. G. Hey, Phys. Rev., D13(1976), 3161;
T. L. Trueman, Phys. Rev., D18(1978), 3423;
Shen Qi-xing et al., Physica Energiae Fortis Et Physica Nuclearis, 8(1984), 573.
- [3] Gao Chong-shou et al., Proceedings of the workshop on colliding beam physics" (1984), 243;
Zhao Pei-ying et al., Acta Physics Sinica, 26(1977), 16.
- [4] R. Brandelik et al., Zeit. Phys., C1(1979) ,233.
- [5] G. Alexander et al., Phys. Lett., 72B(1978), 493 and 76B(1978), 652.
- [6] M. E. B. Franklin Ph. D Thesis SLAC-254 (1982).
- [7] C. Edwards et al., Phys. Rev. Lett., 48(1982), 458.
- [8] K. F. Einsweiler, Ph. D Thesis, SLAC-278 (1984);
D. Hitlin, Proc. Int. Symp. Lepton and Photon Interactions, Cornell, 1983.
- [9] G. Eigen, CALT-68-1483.
- [10] S. U. Chung, Phys. Rev., 169(1968), 1342.
- [10] Hong Yu BIHEP-TH-88-19. 郁宏,高能物理与核物理, 13(1989), 87.

THE ANGULAR DISTRIBUTION FOR THE PROCESS $e^+e^- \rightarrow J/\psi \rightarrow \gamma B, B \rightarrow P_1 + P_2$ AND THE SPIN ANALYSIS OF B

YAN WUGUANG YU HONG

(Institute of High Energy Physics, Academia Sinica, Beijing)

ABSTRACT

This paper gives the relation between the helicity formalism(HF) and the effective interaction formalism (EIF) for the process $e^+e^- \rightarrow J/\psi \rightarrow \gamma B, B \rightarrow P_1 P_2$. The angular distributions of the pseudoscalar meson for different spin ($J=2, 4$) of B indicate that there exist sensitive and insensitive regions to determine the spin of B . Unfortunately the data of θ/f_2 (1720) and $\xi(2230)$ just fall into the insensitive region.